

## Fabry-Pérot-Interferometer, Bestimmung des Bohrschen Magnetons

### SPEKTROSKOPIE MIT EINEM FABRY-PÉROT-ETALON

- Experimentelle Einführung in das Fabry-Pérot-Interferometer am Beispiel des normalen Zeeman-Effekts
- Ausmessen der Interferenzringe des Fabry-Pérot Etalons in Abhängigkeit des äußeren Magnetfeldes
- Bestimmung des Bohrschen Magnetons

UE5020900

09/24 UD

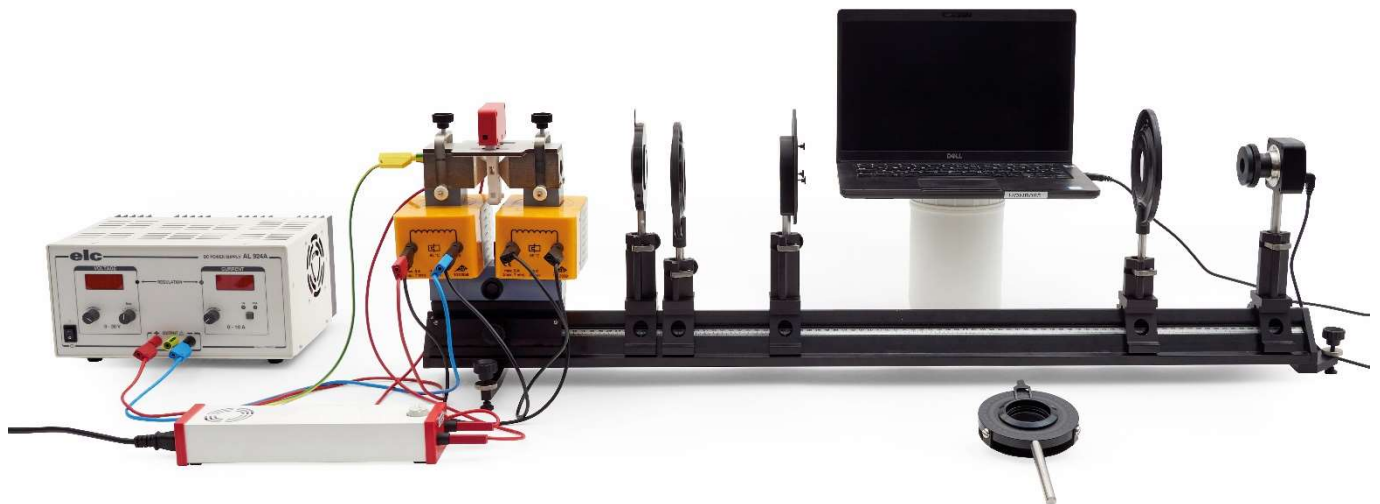


Fig. 1: Experimenteller Aufbau für den longitudinalen Zeeman-Effekt

### ALLGEMEINE GRUNDLAGEN

Das von seinen Namensgebern Charles Fabry und Alfred Pérot entwickelte Fabry-Pérot-Interferometer ist ein optischer Resonator, der aus zwei teildurchlässigen Spiegeln besteht. Ein Fabry-Pérot-Interferometer mit festem Spiegelabstand wird als Fabry-Pérot-Etalon bezeichnet. Da es so ausgelegt ist, dass es die Resonanzbedingung für eine bestimmte Wellenlänge erfüllt, wirkt das Etalon auch wie ein optischer Filter. Ein einfallender Lichtstrahl wird im Etalon mehrfach reflektiert, so dass die bei jeder Reflexion transmittierten Lichtstrahlen miteinander interferieren. Diese Vielstrahlinterferenz erzeugt in Transmission eine Intensitätsverteilung mit schmalen Maxima und breiten Minima. Zusammen mit der hohen Interferenzordnung bei entsprechend großen Resonatorabmessungen resultiert daraus eine hohe Güte und entsprechend ein hohes Auflösungsvermögen. Dadurch können kleine spektrale Aufspaltungen, wie sie beim normalen Zeeman-Effekt an der

roten Cd-Linie ( $\lambda = 643,8 \text{ nm}$ ) vorliegen ( $\Delta\lambda = 0,0068 \text{ nm}$  bei  $B = 350 \text{ mT}$ ), noch aufgelöst werden.

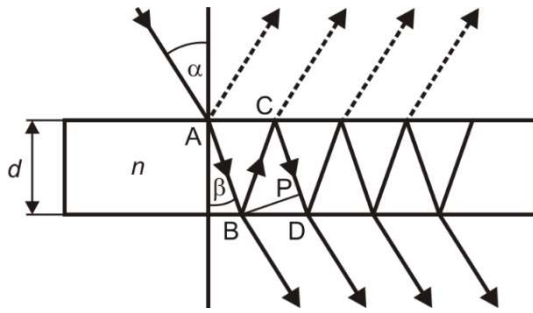


Fig. 2: Strahlengang im Fabry-Pérot Etalon

Eine theoretische Beschreibung des normalen Zeeman-Effekts findet sich in der Anleitung zum Experiment UE5020850, in dem die Dublett- und Triplet-Aufspaltung qualitativ untersucht wird.

Der Fokus dieses Experiments richtet sich auf die Spektroskopie mit einem Fabry-Pérot-Etalon. Das Fabry-Pérot-Etalon ist zusammen mit einer Abbildungsoptik der Kamera vorgeschaltet, mit der die Beobachtung der Zeeman-Aufspaltung erfolgt. Beim Durchgang des Lichts der Cadmium-Lampe durch das Fabry-Pérot-Etalon entstehen Interferenzringe, die wie die Spektrallinie in Abhängigkeit des äußeren Magnetfelds aufspalten und durch die Optik auf die Kamera abgebildet werden. Die Beobachtung parallel oder senkrecht zum äußeren Magnetfeld wird durch einen drehbar gelagerten Elektromagneten ermöglicht.

Das Fabry-Pérot Etalon besteht aus einer Quarzglasplatte mit einer beidseitigen, teilreflektierenden Verspiegelung hoher Reflektivität (Fig. 2). Im vorliegenden Fall ist das Etalon so ausgelegt, dass die Resonanzbedingung für die Wellenlänge  $\lambda = 643,8 \text{ nm}$  der roten Cd-Linie erfüllt ist. In diesem Sinne wirkt das Etalon auch wie ein optischer Filter. Die Dicke  $d$ , der Brechungsindex  $n$  und der Reflexionskoeffizient  $R$  des Etalons betragen:

- (1)  $d = 4 \text{ mm}$
- $n = 1,4567$
- $R = 0,85$

Ein einfallender Lichtstrahl wird im Etalon mehrfach reflektiert. Die bei jeder Reflexion transmittierten Lichtstrahlen interferieren miteinander. Der Gangunterschied  $\Delta s$  zwischen zwei benachbarten transmittierten Lichtstrahlen, z.B. die an den Punkten B und D austretenden Lichtstrahlen in Fig. 2, beträgt:

$$(2) \Delta s = n \cdot (\overline{BC} + \overline{CP}) .$$

Aus

- (3)  $\overline{CP} = \overline{BC} \cdot \cos(2 \cdot \beta) ,$
- (4)  $d = \overline{BC} \cdot \cos(\beta) ,$

dem Snellius'schen Brechungsgesetz ( $n_{\text{Luft}} \approx 1$ )

$$(5) \sin(\alpha) = n \cdot \sin(\beta)$$

und den Additionstheoremen

- (6)  $\cos(\beta) = \sqrt{1 - \sin^2(\beta)}$
- $\cos(2 \cdot \beta) = 1 - 2 \cdot \sin^2(\beta)$

ergibt sich der Gangunterschied zu

$$(7) \Delta s = 2 \cdot d \cdot \sqrt{n^2 - \sin^2(\alpha)} = 2 \cdot d \cdot n \cdot \cos(\beta)$$

und daraus die Bedingung für das Vorliegen von Interferenzmaxima:

$$(8) k \cdot \lambda = 2 \cdot d \cdot \sqrt{n^2 - \sin^2(\alpha_k)} = 2 \cdot d \cdot n \cdot \cos(\beta_k) .$$

- $k$ : Ganze Zahl, Interferenzordnung
- $\alpha_k$ : Einfallswinkel zur  $k$ -ten Interferenzordnung
- $\beta_k$ : Brechungswinkel zur  $k$ -ten Interferenzordnung

Insgesamt wird ein Interferenzmuster aus konzentrischen Ringen erzeugt. Die Brechung an den Grenzflächen der Glasplatte des Fabry-Pérot-Etalons kann vernachlässigt werden, da sie das Interferenzmuster nur parallel verschiebt. Deshalb wird der Brechungswinkel  $\beta$  durch den Einfallswinkel  $\alpha$  ersetzt, und die Interferenzbedingung (8) ergibt sich zu

$$(9) k \cdot \lambda = 2 \cdot d \cdot n \cdot \cos(\alpha_k) \approx 2 \cdot d \cdot n \cdot \left(1 - \frac{\alpha_k^2}{2}\right) ,$$

mit der Entwicklung  $\cos(x) \approx (1 - x^2 / 2)$  der Cosinusfunktion.

Das Interferenzmuster wird mit Hilfe der Sammellinse auf die Kamera abgebildet (Fig. 3). Zwischen dem Winkel  $\alpha_k$ , unter dem der Interferenzring zur  $k$ -ten Ordnung erscheint, dem Radius  $r_k$  des Interferenzrings zur  $k$ -ten Ordnung und der Brennweite  $f$  der Linse besteht folgender Zusammenhang (Fig. 3):

$$(10) r_k = f \cdot \tan(\alpha_k) \approx f \cdot \alpha_k ,$$

mit der Kleinwinkel-Näherung  $\tan(x) \approx x$ . Für die Interferenzordnung  $k$  und den Winkel  $\alpha_k$  folgt aus Gleichung (9)

$$(11) k = k_0 \cdot \cos(\alpha_k) \approx k_0 \cdot \left(1 - \frac{\alpha_k^2}{2}\right) \text{ mit } k_0 = \frac{2 \cdot d \cdot n}{\lambda}$$

und

$$(12) \alpha_k = \sqrt{\frac{2 \cdot (k_0 - k)}{k_0}} .$$

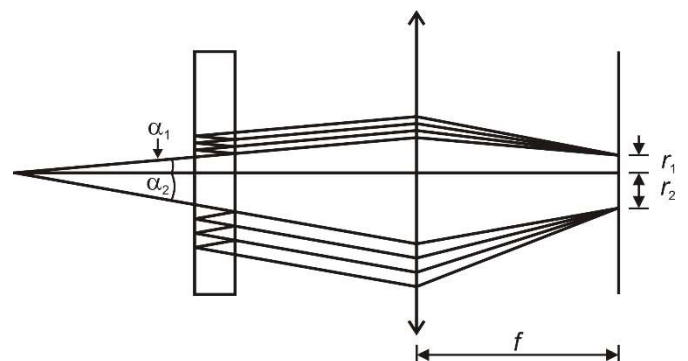


Fig. 3: Abbildung der Interferenzringe des Fabry-Pérot-Etalons auf die Digitalkamera

Nach Gleichung (11) ist wegen  $|\cos(\alpha_k)| \leq 1$  die Interferenzordnung  $k$  für  $\alpha_k = 0$ , d.h. im Zentrum der Interferenzringe, am größten und entspricht dem Parameter  $k_0$ , der im Allgemeinen keine ganze Zahl ist. Da die Interferenzringe im Experiment vom Zentrum aus abgezählt werden, wird die Interferenzordnung  $k$  mit einer ganzen Zahl  $j$  indiziert, die die  $k$ -te Interferenzordnung mit dem  $j$ -ten vom Zentrum aus gezählten Interferenzring identifiziert, in Verallgemeinerung des bereits eingeführten Parameters  $k_0$ .

Der erste helle Interferenzring mit der Ordnung  $k_1$  erscheint nach Gleichung (12) unter dem Winkel

$$(13) \alpha_{k_1} = \sqrt{\frac{2 \cdot (k_0 - k_1)}{k_0}},$$

wobei  $k_1$  die nächste ganze Zahl ist, die kleiner als  $k_0$  ist. Da  $k_0$  im Allgemeinen keine ganze Zahl ist, ist die Differenz  $k_0 - k_1$  kleiner als 1. Deshalb wird ein Parameter  $\varepsilon$  wie folgt definiert:

$$(14) \varepsilon := k_0 - k_1 \text{ mit } 0 < \varepsilon < 1$$

Für alle Interferenzringe mit  $j \geq 2$  verringert sich die Ordnungszahl  $k_j$  jeweils um 1, so dass für die Interferenzordnung des  $j$ -ten vom Zentrum aus gezählten Interferenzrings allgemein gilt:

$$(15) k_j = (k_0 - \varepsilon) - (j - 1)$$

Für  $j = 1$  entspricht Gleichung (15) gerade der Definition von  $\varepsilon$  aus Gleichung (14). Einsetzen von Gleichung (12) mit  $k = k_j$  und (15) in Gleichung (10) ergibt

$$(16) r_j = \sqrt{\frac{2 \cdot f^2}{k_0}} \cdot \sqrt{(j-1) + \varepsilon},$$

wobei der Einfachheit halber für die Indizierung, ohne Beschränkung der Allgemeinheit,  $r_{k_j} \rightarrow r_j$  gesetzt wurde. Diese Konvention wird im Folgenden beibehalten. Aus Gleichung (16) folgt, dass die Differenz der Radien-Quadrate benachbarter Interferenzringe konstant ist:

$$(17) r_{j+1}^2 - r_j^2 = \frac{2 \cdot f^2}{k_0} = \text{const.}$$

Aus Gleichung (16) und (17) folgt:

$$(18) \varepsilon = \frac{r_{j+1}^2}{r_{j+1}^2 - r_j^2} - j.$$

Spalten die Interferenzringe jeweils in zwei sehr nah beieinander liegende Komponenten  $a$  und  $b$  auf, deren Wellenlänge sich nur geringfügig voneinander unterscheidet, folgt z.B. für den ersten vom Zentrum aus gezählten Interferenzring nach Gleichung (14):

$$(19) \begin{aligned} \varepsilon_a &= k_{0,a} - k_{1,a} = \frac{2 \cdot d \cdot n}{\lambda_a} - k_{1,a} \\ \varepsilon_b &= k_{0,b} - k_{1,b} = \frac{2 \cdot d \cdot n}{\lambda_b} - k_{1,b} \end{aligned}$$

Da die beiden Komponenten zur gleichen Interferenzordnung gehören, gilt unter der Voraussetzung, dass sich die Interferenzringe nicht um mehr als eine ganze Ordnung überlappen,  $k_{1,a} = k_{1,b}$  und damit:

$$(20) \varepsilon_a - \varepsilon_b = k_{0,a} - k_{0,b} = 2 \cdot d \cdot n \cdot \left( \frac{1}{\lambda_a} - \frac{1}{\lambda_b} \right).$$

Gleichung (20) hängt nicht explizit von der Interferenzordnung ab. Wird Gleichung (18) für beide Komponenten  $a$  und  $b$  formuliert und in Gleichung (20) eingesetzt, ergibt sich:

$$(21) \left( \frac{1}{\lambda_a} - \frac{1}{\lambda_b} \right) = \frac{1}{2 \cdot d \cdot n} \cdot \left( \frac{r_{j+1,a}^2}{r_{j+1,a}^2 - r_{j,a}^2} - \frac{r_{j+1,b}^2}{r_{j+1,b}^2 - r_{j,b}^2} \right).$$

Aus Gleichung (17) folgt, dass die Differenz der Radien-Quadrate der Komponente  $a$  oder  $b$  für benachbarte Interferenzordnungen  $j$  und  $j+1$  mit  $j > 0$  wegen  $\lambda_a \approx \lambda_b$  und damit  $k_{0,a} \approx k_{0,b}$  näherungsweise gleich sind:

$$(22) \Delta_a^{j+1,j} = r_{j+1,a}^2 - r_{j,a}^2 = r_{j+1,b}^2 - r_{j,b}^2 = \Delta_b^{j+1,j}.$$

Entsprechend gilt für zwei Komponenten  $a$  und  $b$  der gleichen Interferenzordnung  $j$  mit  $j > 0$ :

$$(23) \delta_{a,b}^j = r_{j,a}^2 - r_{j,b}^2 = r_{j+1,a}^2 - r_{j+1,b}^2 = \delta_{a,b}^{j+1}.$$

Einsetzen der Gleichungen (22) und (23) in Gleichung (21) ergibt:

$$(24) \left( \frac{1}{\lambda_a} - \frac{1}{\lambda_b} \right) = \frac{1}{2 \cdot d \cdot n} \cdot \frac{\delta_{a,b}^{j+1}}{\Delta_a^{j+1,j}} \text{ für alle } j > 0$$

Da die Gleichung (22) für beide Komponenten  $a$  und  $b$  benachbarter Interferenzringe und die Gleichung (23) für alle Interferenzringe gilt, können Mittelwerte

$$(25) \delta = \overline{\delta_{a,b}^j}$$

und

$$(26) \Delta = \overline{\Delta_a^{j+1,j}}$$

gebildet und in die Gleichung (24) eingesetzt werden:

$$(27) \left( \frac{1}{\lambda_a} - \frac{1}{\lambda_b} \right) = \frac{1}{2 \cdot d \cdot n} \cdot \frac{\delta}{\Delta}.$$

Mit

$$(28) \Delta E_{a,b} = h \cdot c \cdot \left( \frac{1}{\lambda_a} - \frac{1}{\lambda_b} \right) = \mu_B \cdot B$$

folgt aus Gleichung (27):

$$(29) \frac{\delta}{\Delta} = 2 \cdot \frac{d \cdot n}{h \cdot c} \cdot \mu_B \cdot B = a \cdot B \text{ mit } a = 2 \cdot \frac{d \cdot n}{h \cdot c} \cdot \mu_B.$$

Der Quotient  $\delta / \Delta$  kann in Abhängigkeit der magnetischen Flussdichte  $B$  gemessen, graphisch aufgetragen und das Bohrsche Magneton  $\mu_B$  aus der Steigung  $a$  einer Geradenanpassung bestimmt werden.

## GERÄTELISTE

|   |         |
|---|---------|
| 1 Cd-Lampe mit Zubehör @230 V<br>oder                     | 1021366 |
| 1 Cd-Lampe mit Zubehör @115 V                             | 1021747 |
| 1 Fabry-Pérot-Etalon 644 nm                               | 1020903 |
| 1 DC-Netzgerät, längsgeregelt, 1 – 30V, 0 – 10A<br>@230V  | 1025380 |
| oder  |         |
| 1 DC-Netzgerät 20 V, 5 A @115 V                           | 1003311 |
| 1 U-Kern D  | 1022663 |
| 2 Spulen D 900 Windungen                                  | 1012859 |
| 1 Elektromagnet-Zubehör für Zeeman-Effekt                 | 1021365 |
| 1 Mikroskopkamera Bresser MikroCam SP 3.1                 | 1024060 |
| 1 Linse 12 mm für die Bresser Mikroskopiekamera           | 1024059 |
| 1 Stativstange mit ¼ Zoll Gewinde, 100 mm                 | 1025431 |
| 1 Roter Farbfilter in Fassung                             | 1025376 |
| 2 Sammellinsen auf Stiel, f = 100 mm                      | 1003023 |
| 1 Viertelwellenlängenfilter auf Stiel                     | 1021353 |
| 1 Polarisationsaufsatz                                    | 1021364 |
| 1 Polarisationsfilter auf Stiel                           | 1008668 |
| 1 Optische Bank D, 100 cm                                 | 1002628 |
| 1 Satz Füße für Optische Bank D                           | 1012399 |
| 1 Optikfuß D  | 1009733 |
| 3 Optikreiter D 90/36                                     | 1012401 |
| 2 Optikreiter D 60/36                                     | 1002639 |
| 1 Paar Sicherheitsexperimentierkabel, 75 cm,<br>rot, blau | 1017718 |
| 1 Paar Sicherheitsexperimentierkabel, 75 cm,<br>schwarz   | 1002849 |

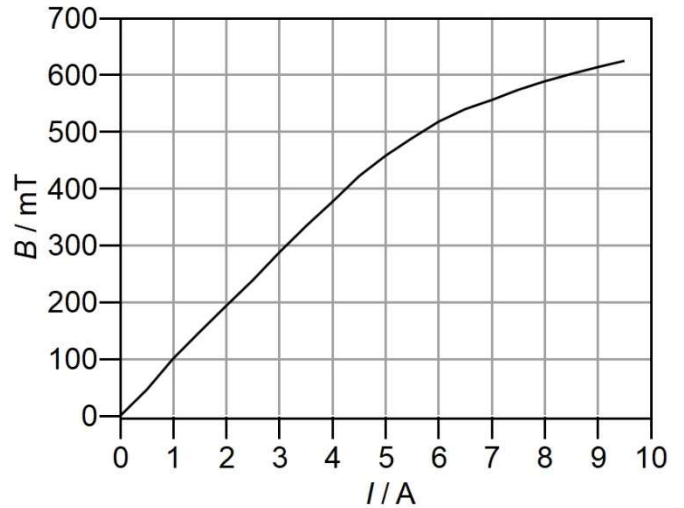


Fig. 4: Kalibrierkurve des Elektromagneten

- Die 12-mm-Linse so fokussieren, dass die Interferenzringe der innersten Ordnung scharf gestellt sind. Die Sammellinsen (Abbildungs- und Kondensorlinse) nicht mehr verschieben und die 12-mm-Linse nicht mehr nachfokussieren, da sonst die Auswertung falsche Ergebnisse liefert.
- Das DC-Netzgerät einschalten, den Strom durch die Spulen zuerst auf 3 A, dann in 0,5-A-Schritten auf 5 A und in 1-A-Schritten weiter auf 9 A hochregeln. Bei jedem Schritt ein Einzelbild („Schnappschuss“) mit der Kamera-Software aufnehmen und als „JPEG“ speichern.

**Hinweis:**

Beim Hochregeln des Stroms ist darauf zu achten, dass sich die Interferenzringe nicht um mehr als eine ganze Ordnung überlappen.

## AUFBAU UND SICHERHEITSHINWEISE

Die Durchführung dieses Experiments setzt voraus, dass die Montage der Komponenten sowie der experimentelle Aufbau und die Justage gemäß der Anleitung des Experiments UE5020850 erfolgt ist, unter Beachtung aller darin formulierten Sicherheitshinweise.

Die maximale Stromstärke durch die Spulen D mit 900 Windungen beträgt 5 A (7 Minuten). Sie kann kurzfristig (30 Sekunden) auf das Doppelte angehoben werden. Die Spulen verfügen über eine interne reversible Temperatursicherung, die bei einer Wicklungstemperatur von 85 °C auslöst. Die Rückstellzeit beträgt 10-20 Minuten, je nach Umgebungstemperatur.

- Die Messung zügig durchführen, so dass ein Auslösen der Temperatursicherung durch zu langes Fließen hoher Ströme vermieden wird.
- Die Spulen nicht ohne Trafokern betreiben.

## DURCHFÜHRUNG

### Messung

- Die transversale Konfiguration durch Drehen des Elektromagneten herstellen wie in der Anleitung des Experiments UE5020850 beschrieben.

### Kalibrierung des Elektromagneten

Die Werte für die magnetischen Flussdichten  $B$ , die den eingestellten Stromstärken  $I$  entsprechen, sind der Kalibrierkurve in Fig. 4 bzw. Tab. 1 zu entnehmen. Alternativ kann die Kalibrierkurve wie folgt aufgenommen werden:

- Die Cd-Lampe am Gehäuse aus der Montageplatte herausnehmen.
- Ein Teslameter im Luftspalt zwischen den beiden Polschuhen (ca. 10 mm) so platzieren, dass der Magnetfeldsensor zentriert positioniert ist.
- Das DC-Netzgerät einschalten, und den Strom  $I$  durch die Spulen in 0,5-A-Schritten hochregeln. Bei jedem Schritt die Werte für die magnetische Flussdichte  $B$  messen, notieren und gegen die eingestellten Stromstärken graphisch auftragen.
- Strom herunterregeln und DC-Netzgerät ausschalten.
- Die Cd-Lampe wieder in die Montageplatte einführen.

Tab 1: Kalibrierung des Elektromagneten. Eingestellte Stromstärken  $I$  und gemessene magnetische Flussdichten  $B$

| $I / A$ | $B / mT$ | $I / A$ | $B / mT$ |
|---------|----------|---------|----------|
| 0,0     | 0        | 5,0     | 458      |
| 0,5     | 46       | 5,5     | 489      |
| 1,0     | 101      | 6,0     | 518      |
| 1,5     | 148      | 6,5     | 540      |
| 2,0     | 194      | 7,0     | 556      |
| 2,5     | 239      | 7,5     | 574      |
| 3,0     | 288      | 8,0     | 589      |
| 3,5     | 334      | 8,5     | 602      |
| 4,0     | 377      | 9,0     | 614      |
| 4,5     | 422      | 9,5     | 625      |

### MESSBEISPIEL UND AUSWERTUNG

Die folgenden Arbeitsschritte sind für jedes gespeicherte Einzelbild durchzuführen:

- Ein Einzelbild in der Kamera-Software öffnen (in der Menüleiste „Datei“ anklicken und „Bild öffnen“ auswählen).
- In der Menüleiste „Optionen“ anklicken, in dem sich öffnenden Fenster „Längeneinheit“ auswählen, unter „Aktuell“ einen Haken bei „Pixel“ setzen und die Einstellung durch Anklicken von „OK“ bestätigen.
- In der Symbolleiste die Schaltfläche „Kreis“ anklicken und „3 Punkte“ auswählen. Einen Kreis auf den innersten Interferenzring legen. Dieser wird im Folgenden mit „C1“ bezeichnet.

Das Fenster „Messung“ öffnet sich automatisch.

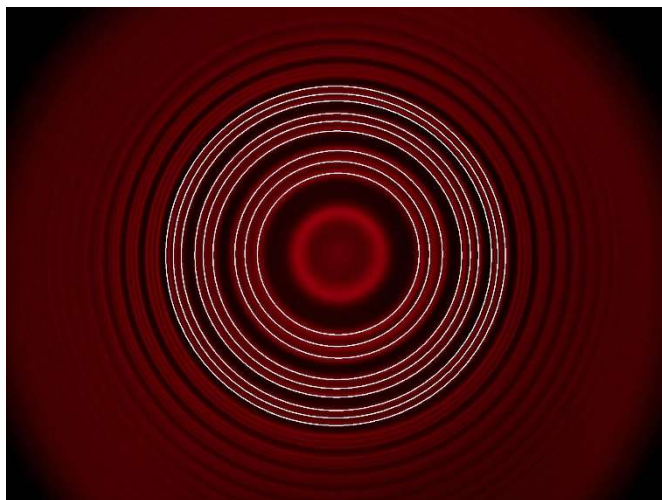


Fig. 5: Triplet-Aufspaltung der roten Cadmium-Linie ( $I = 5,0 A \triangleq B = 458 mT$ ). Mit Kreisen markierte Interferenzringe zur Bestimmung der eingeschlossenen Flächen

- Unter „Aussehen“ ggf. das Erscheinungsbild anpassen (z.B. Linienbreite/-farbe, Label ein-/ausblenden).
- Unter „Geometrie“ den Zahlenwert für die Fläche in Pixel notieren (Tab. 2). In derselben Weise weitere Interferenzringe markieren (C2–C9, Fig. 5) und die Flächen notieren (Tab. 2). Die Schaltfläche „Verfolgung“ (Hand-Symbol) anklicken, um den Vorgang abzuschließen.
- In der Menüleiste „Ebene“ anklicken, „Zusammenführen mit Bild“ auswählen und „OK“ anklicken.
- In der Menüleiste „Datei“ anklicken, „Speichern unter“ auswählen und das Einzelbild als JPEG unter einem aussagekräftigen Namen speichern.

Hinweis:

Die Einheit der Fläche ist für die weitere Auswertung irrelevant, da keine absoluten, sondern nur relative Werte und Verhältnisse berechnet werden. Die absoluten Werte der Flächen (Tab. 2) können je nach Position der Optiken deutlich abweichen.

- Die Flächendifferenzen  $\Delta$  der sich entsprechenden Komponenten benachbarter Interferenzordnungen (Kreise  $C4 \leftrightarrow C1$ ,  $C5 \leftrightarrow C2$ ,  $C6 \leftrightarrow C3$ ,  $C7 \leftrightarrow C4$ ,  $C8 \leftrightarrow C5$ ,  $C9 \leftrightarrow C6$ ) berechnen (Gl. (22), Tab. 3).
- Die Flächendifferenzen  $\delta$  benachbarter Komponenten der gleichen Interferenzordnungen (Kreise  $C2 \leftrightarrow C1$ ,  $C3 \leftrightarrow C2$ ,  $C5 \leftrightarrow C4$ ,  $C6 \leftrightarrow C5$ ,  $C8 \leftrightarrow C7$ ,  $C9 \leftrightarrow C8$ ) berechnen (Gl. (23), Tab. 4).
- Aus allen Flächendifferenzen in Tab. 3 und 4 jeweils den Mittelwert bilden (Gl. (25), (26)) und in die Tabellen eintragen.
- Das Verhältnis  $\delta / \Delta$  der Mittelwerte für alle eingestellten Stromstärken bzw. magnetischen Flussdichten berechnen (Tab. 5). Die entsprechenden Werte für die magnetische Flussdichte der Kalibrierkurve des Elektromagneten (Fig. 4, Tab. 1) entnehmen.
- Das Verhältnis  $\delta / \Delta$  in Abhängigkeit der magnetischen Flussdichte  $B$  graphisch darstellen und eine Ursprungsgerade anpassen (Fig. 6).

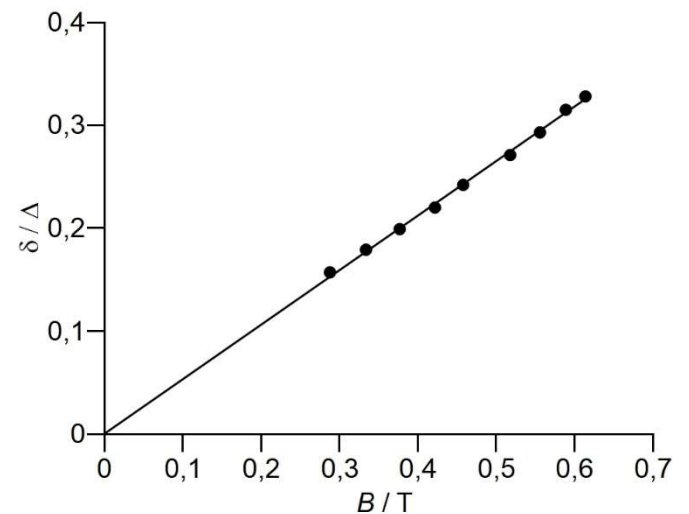


Fig. 6: Verhältnis  $\delta / \Delta$  der Flächendifferenzen in Abhängigkeit der magnetischen Flussdichte  $B$ . Die Steigung der angepassten Ursprungsgeraden beträgt  $a = 0,53 / T$ .

- Das Bohrsche Magneton mit Hilfe von Gleichung (29) aus der Steigung  $a = 0,53 / \text{T}$  der angepassten Geraden bestimmen: Der Wert stimmt bis auf ca. 3% mit dem Literaturwert  $9,3 \cdot 10^{-24} \text{ J/T}$  überein.

$$\begin{aligned}
 \mu_B &= \frac{1}{2} \cdot \frac{h \cdot c}{d \cdot n} \cdot a \\
 (30) &= \frac{1}{2} \cdot \frac{6,6 \cdot 10^{-34} \text{ Js} \cdot 3,0 \cdot 10^8 \text{ m/s}}{4 \text{ mm} \cdot 1,4567} \cdot 0,53 / \text{T} \\
 &= 9,0 \cdot 10^{-24} \frac{\text{J}}{\text{T}}
 \end{aligned}$$

Tab. 2: Mit Hilfe der Kamera-Software bestimmte, von den Interferenzringen eingeschlossene Flächen

| I / A | A / Pixel |        |        |        |        |        |        |        |        |
|-------|-----------|--------|--------|--------|--------|--------|--------|--------|--------|
|       | C1        | C2     | C3     | C4     | C5     | C6     | C7     | C8     | C9     |
| 3,0   | 167734    | 200055 | 229205 | 367830 | 398701 | 430412 | 559306 | 592777 | 620040 |
| 3,5   | 161486    | 200196 | 234474 | 365742 | 400854 | 434853 | 554225 | 592457 | 622683 |
| 4,0   | 157753    | 199493 | 238088 | 358148 | 398737 | 439637 | 552909 | 592559 | 624921 |
| 4,5   | 151447    | 200768 | 241074 | 354744 | 399174 | 442546 | 548700 | 591057 | 629975 |
| 5,0   | 146500    | 201657 | 248223 | 352695 | 398436 | 448720 | 546544 | 591877 | 633671 |
| 6,0   | 140903    | 199539 | 254920 | 345700 | 400889 | 451353 | 539028 | 591891 | 637638 |
| 7,0   | 134134    | 199027 | 257459 | 340850 | 401293 | 454900 | 535505 | 591126 | 643582 |
| 8,0   | 131146    | 199745 | 261665 | 335577 | 400627 | 460375 | 532289 | 591173 | 647816 |
| 9,0   | 130739    | 200385 | 265108 | 332857 | 398694 | 463757 | 531064 | 590470 | 651822 |

Tab. 3: Flächendifferenzen  $\Delta$  der sich entsprechenden Komponenten benachbarter Interferenzordnungen

| I / A | Flächendifferenz $\Delta$ / Pixel |                  |                  |                  |                  |                  | Mittelwert |
|-------|-----------------------------------|------------------|------------------|------------------|------------------|------------------|------------|
|       | $\Delta_{C4,C1}$                  | $\Delta_{C5,C2}$ | $\Delta_{C6,C3}$ | $\Delta_{C7,C4}$ | $\Delta_{C8,C5}$ | $\Delta_{C9,C6}$ |            |
| 3,0   | 200096                            | 198646           | 201207           | 191476           | 194076           | 189628           | 195855     |
| 3,5   | 204256                            | 200658           | 200379           | 188483           | 191603           | 187830           | 195535     |
| 4,0   | 200395                            | 199244           | 201549           | 194761           | 193822           | 185284           | 195843     |
| 4,5   | 203297                            | 198406           | 201472           | 193956           | 191883           | 187429           | 196074     |
| 5,0   | 206195                            | 196779           | 200497           | 193849           | 193441           | 184951           | 195952     |
| 6,0   | 204797                            | 201350           | 196433           | 193328           | 191002           | 186285           | 195533     |
| 7,0   | 206716                            | 202266           | 197441           | 194655           | 189833           | 188682           | 196599     |
| 8,0   | 204431                            | 200882           | 198710           | 196712           | 190546           | 187441           | 196454     |
| 9,0   | 202118                            | 198309           | 198649           | 198207           | 191776           | 188065           | 196187     |

Tab. 4: Flächendifferenzen  $\delta$  benachbarter Komponenten der gleichen Interferenzordnungen

| $I / A$ | Flächendifferenz $\delta / \text{Pixel}$ |                  |                  |                  |                  |                  | Mittelwert |
|---------|--|------------------|------------------|------------------|------------------|------------------|------------|
|         | $\delta_{C2,C1}$                         | $\delta_{C3,C2}$ | $\delta_{C5,C4}$ | $\delta_{C6,C5}$ | $\delta_{C8,C7}$ | $\delta_{C9,C8}$ |            |
| 3,0     | 32321                                    | 29150            | 30871            | 31711            | 33471            | 27263            | 30798      |
| 3,5     | 38710                                    | 34278            | 35112            | 33999            | 38232            | 30226            | 35093      |
| 4,0     | 41740                                    | 38595            | 40589            | 40900            | 39650            | 32362            | 38973      |
| 4,5     | 49321                                    | 40306            | 44430            | 43372            | 42357            | 38918            | 43117      |
| 5,0     | 55157                                    | 46566            | 45741            | 50284            | 45333            | 41794            | 47479      |
| 6,0     | 58636                                    | 55381            | 55189            | 50464            | 52863            | 45747            | 53047      |
| 7,0     | 64893                                    | 58432            | 60443            | 53607            | 55621            | 52456            | 57575      |
| 8,0     | 68599                                    | 61920            | 65050            | 59748            | 58884            | 56643            | 61807      |
| 9,0     | 69646                                    | 64723            | 65837            | 65063            | 59406            | 61352            | 64338      |

Tab. 5: Verhältnis  $\delta / \Delta$  der Flächendifferenzen für verschiedene Ströme  $I$  bzw. magnetische Flussdichten  $B$ 

| $I / A$ | $B / T$ | $\delta / \Delta$ |
|---------|---------|-------------------|
| 3,0     | 0,288   | 0,157             |
| 3,5     | 0,334   | 0,179             |
| 4,0     | 0,377   | 0,199             |
| 4,5     | 0,422   | 0,220             |
| 5,0     | 0,458   | 0,242             |
| 6,0     | 0,518   | 0,271             |
| 7,0     | 0,556   | 0,293             |
| 8,0     | 0,589   | 0,315             |
| 9,0     | 0,614   | 0,328             |